

UNIVERSIDADE DE SÃO PAULO
INSTITUTO DE FÍSICA DE SÃO CARLOS

RENATO FABBRI

Redes complexas para o participante

São Carlos

2015

RENATO FABBRI

Redes complexas para o participante

Monografia apresentada ao Programa de Pós-Graduação em Física do Instituto de Física de São Carlos da Universidade de São Paulo, para o Exame de Qualificação como parte dos requisitos para obtenção do título de Doutor em Ciências.

Área de concentração: Física Aplicada
Opção: Física Computacional
Orientador: Prof. Dr. Osvaldo Novais de Oliveira Jr.

São Carlos

2015

RESUMO

FABBRI, C. *Redes complexas para o participante*. Instituto de Física de São Carlos, Universidade de São Paulo, São Carlos, 2015.

As redes complexas compõem uma das áreas mais ativas da física recente. Há esforços consideráveis para apresentar estes avanços ao público não especialista, mas tudo indica que poucos ou nenhum são propostos para instrumentalizar o indivíduo que constitui estes sistemas a se beneficiarem. Ou seja, com um núcleo de conhecimento da área, e receitas para aproveitamento, fornecer meios para o participante interagir e entender as redes nas quais ele se encontra. Este trabalho busca realizar tal tarefa por meio das redes sociais do participante. Verificamos que tais redes exibem uma estabilidade temporal de medidas topológicas e dos tamanhos relativos dos setores básicos (hubs, intermediários, periféricos). Observamos uma diferenciação da produção de texto de cada setor básico. Também formalizamos as conceitualizações vinculadas a estas redes como ontologias OWL onde foi possível, principalmente as instâncias de participação social previstas por lei e praticadas ou implementadas como computacionalmente. Software e dados foram disponibilizados e usados. Protocolos escolhidos para facilitar a integração de estruturas de diferentes procedências, para reutilização dos dados em outros trabalhos e pesquisas, e para o benefício público. Consequências conceituais requerem considerações antropológicas e estão sendo redigidas. Próximos passos são: melhor documentação e desenvolvimento do aparato em software, ontologias e dados; considerações tipológicas das propriedades físicas observadas nas redes de interação humana, com atenção aos outliers, às relações entre topologia do agente e texto produzido, e à ponte com a bagagem mais tradicional das ciências humanas no assunto.

Palavras-chave: Redes complexas. Redes sociais. Complexidade. Física antropológica. Dados ligados. Web semântica. Participação social. Mineração de texto. Processamento de linguagem natural.

Sumário

1	Introdução	7
1.1	Revisão de literatura	8
1.2	Ambiguidades e sinônimos no jargão	9
1.2.1	Processamento de linguagem natural, dados ligados, participação social	10
2	Materiais	11
2.1	O banco Gmane de dados públicos sobre listas de email (benchmark)	11
2.2	Facebook, Twitter, Participa.br, Cidade Democrática, AA	11
3	Métodos	13
3.1	Estatística temporal e circular	13
3.1.1	Formação das redes de interação	14
3.2	Seccionamento de Erdős	15
3.3	Média e desvio do PCA ao longo do tempo	19
3.3.1	Medidas consideradas e acrescentadas	20
3.4	Teste de Kolmogorov-Smirnoff para os textos produzidos por cada setor	21
3.4.1	Adaptação	22
3.5	Audiovisualização de dados	22
3.6	Considerações tipológicas e humanísticas	22
3.7	Web semântica	23
3.7.1	A construção de ontologias OWL e vocabulários SKOS	24
3.7.2	A triplificação de dados relacionais	24
4	Resultados	25
4.1	Estabilidade temporal e diferenciação textual em redes de interação humana	25
4.2	Criação da nuvem brasileira de dados participativos ligados	27
4.2.1	Síntese de ontologias OWL	27
4.2.2	Formatação de dados ligados a partir de dados relacionais	29

4.2.3	Escritos, ontologias e dados publicados	29
4.2.4	Método de construção de ontologias orientado aos dados	30
4.3	Aparato em software	30
4.4	Aproveitamento	30
4.4.1	Procedimentos de percolação social	31
4.4.2	Física antropológica	32
4.4.3	Sistemas de recomendação para o enriquecimento da navegação semântica de recursos	32
4.4.4	Compreensão sobre as estruturas sociais	33
5	Afazeres e cronograma	35
5.1	Comparativo de afazeres	35
5.2	Cronograma	36
6	Conclusões e previsão	39

1

Introdução

Estudos sobre redes de interação humana foram iniciados bem antes dos computadores modernos, datam do século XIX, enquanto a fundação da “Análise de Redes Sociais”/ARS (ou *Social Network Analysis*/SNA) é geralmente atribuída ao psiquiatra Jacob Moreno na metade do século vinte (?). Com a crescente disponibilidade de dados relacionados à interação humana, a pesquisa destas redes tem aumentado continuamente. Contribuições podem ser encontradas em uma variedade de áreas, de ciências sociais e humanidades (?) a ciências sociais (?) e física (?,?), dada a natureza multidisciplinar do assunto. Uma das abordagens da perspectiva de uma ciência exata é representar a rede de interação como uma rede complexa (?, ?), com a qual algumas características foram reveladas. Por exemplo, a topologia das redes de interação humana exibem um traço livre de escala, o que aponta para a existência de um pequeno número de hubs super conectados e um grande número de vértices pouco conectados.

Há um hiato de conhecimento e tecnologia entre o legado de redes complexas e o usufruto do participante. Este hiato é reativo, e há evidência de que conseguirá se manter como um ecossistema de conhecimento, tecnologia e empreendimento da sociedade em todas as suas escalas. Deve facilitar, por exemplo: elaboração e preparação de documentos, aquisição rápida de conhecimento, realização de empreitadas coletivas. Em geral: processos de coleta e difusão de informação (e bens) (?,?).

Este trabalho apresenta uma confirmação deste cenário e avanços. Algumas estratégias foram selecionadas para verificar a aplicabilidade de conceitos de redes complexas para o benefício do participante. Em especial, experimentos muito simples parecem capazes de modificar estruturas sociais. Neste contexto, verificamos estabilidades temporais nas redes de interação humana, e expomos que os setores básicos das redes (hubs, intermediários e periféricos) produzem textos bastante diferentes entre si. Este conhecimento é útil para uma tipologia não estigmatizante de participantes em redes de interação. A audiovisualização e interconexão de dados com arte e engenhocas em software deram suporte contínuo à pesquisa científica. Aplicações foram complementadas em parceria com a Presidência da República e o Programa

das Nações Unidas para o Desenvolvimento.

A próxima seção apresenta considerações gerais sobre a literatura. A Seção 1.2 expõe a proliferação de ambiguidades e sinônimos no jargão da área. A Seção 2 é dedicada aos dados analisados. A Seção ?? contém os métodos usados para atingir os resultados, que são explicitados na Seção ?. O cronograma de atividades e uma comparação entre afazeres planejados e finalizados estão na Seção ?. A monografia termina com as conclusões na Seção ?, seguida de agradecimentos e bibliografia.

1.1 Revisão de literatura

A área das redes complexas é relativamente nova (≈ 25 anos) e a literatura apresenta definições divergentes da área em si. Uma definição que tem recebido aceitação crescente é da rede complexa como “um grafo grande com características topológicas não triviais”. Esta definição é enganosa ao menos em três pontos. Primeiro, há redes de interesse com características topológicas triviais, como as redes de Erdős-Rényi e a Geográfica (?), ou as redes simples usadas para exemplos. Segundo, a definição falha ao não emitir a mensagem fundamental de que uma rede complexa não é somente uma estrutura matemática, um grafo isolado. As redes complexas de interesse são redes reais ou modelos idealizados para as entender. Além disso, não só grafos grandes são de interesse, mas grafos pequenos são comumente usados como exemplos de propriedades e extensão das estruturas maiores. Uma definição, ainda longe de perfeita, mas preferida neste trabalho, é considerar a área das redes complexas como interessada em “redes usualmente grandes, consideradas no, ou para consideração do, meio em que residem”. Esta definição resolve ambas as questões.

Os livros em geral apresentam um comum e poderoso repertório para a caracterização de sistemas complexos através de grafos. Talvez as mais notáveis características deste repertório sejam:

- O arsenal de medidas: grau, força, betweenness centrality, coeficiente de clusterização, etc.
- Os paradigmas básicos de redes: Erdős-Rényi, geográfica, de mundo pequeno e livre de

escala.

- A abordagem transdisciplinar para considerar o meio no qual a rede está inserida, ou que implica na rede.

A literatura sobre análise de redes sociais (ARS, ou *SNA* para *Social Network Analysis*), por exemplo, pode ser frequentemente compreendida como redes complexas em sistemas sociais humanos.

Uma consideração cuidadosa dos livros e artigos lidos para esta pesquisa estão na Seção ???. As seções a seguir (1.2 e 1.2.1) explicitam peculiaridades do jargão da área e considerações sobre as áreas secundárias.

1.2 Ambiguidades e sinónimos no jargão

A área de redes complexas é recente e conflui com diversas correntes científicas, como a física, a biologia e a sociologia. Portanto, possui termos ambíguos e sinónimos.

Exemplos de ambiguidade e delimitações adotadas:

- Os vértices mais conectados são, por definição, chamados hubs da rede. O vértice mais conectado é chamado hub da rede. No contexto do algoritmo HITS, o que é bem comum, estes significados mudam: os hubs são os que possuem mais arestas saindo (grau de saída); as autoridades recebem as arestas, ou são referenciados por vários hubs e outras entidades.
- Há uma definição de centro e periferia com relação ao raio e diâmetro da rede (?, ?). Por extensão os intermediários podem ser considerados os que não são centro nem periferia. Esta setorialização centro, intermediários e periferia gera frações que diferem do previsto pela literatura para as frações de hubs, intermediários e periféricos. Um método apropriado para realizar esta setorialização da rede, com resultados estáveis e significativos, consta na Seção ??.
-

1.2.1 Processamento de linguagem natural, dados ligados, participação social

Os termos processamento de linguagem natural (PLN) e mineração de texto (MT) podem em geral serem substituídos um pelo outro. O termo PLN é preferido pois os intuitos da pesquisa são muito mais próximos aos intuitos da área: compreender como a linguagem verbal está sendo usada para significar.

Os termos web semântica e dados ligados em geral também podem ser substituídos um pelo outro. O primeiro salienta a rede de referenciamento dos dados, o segundo os dados referenciando-se. Principalmente na esfera acadêmica, a área é, salvo segunda ordem, sinônimo de dados em RDF via XML ou Turtle, ontologias OWL e máquinas de inferência.

A participação social é a incorporação da própria sociedade nos processos de governança da sociedade. Quase toda a participação social atual é indireta e presencial, com a população fornecendo diretrizes e indicadores para o setor público. A transparência tem sido cada vez mais presente, e o norte de “participação direta” (participação direta da sociedade civil na tomada de decisões pelo Estado) cada vez mais presente.

2

Materiais

2.1 O banco Gmane de dados públicos sobre listas de email (benchmark)

Mensagens de lista de email foram obtidas do arquivo Gmane (?), que consiste em mais de 20 mil listas de email e mais de 130 milhões de mensagens (?). Estas listas cobrem uma variedade de assuntos, em especial relacionados à tecnologia. O arquivo pode ser descrito como um corpus com metadados de emails, que incluem hora e lugar de envio, nome e email do remetente. O uso do GMANE para pesquisa científica é incidente no estudo de listas isoladas e de inovações lexicais (?, ?).

2.2 Facebook, Twitter, Participa.br, Cidade Democrática, AA

Embora as redes de email tenham sido usadas como referência na observação de propriedades gerais, outras fontes foram analisadas:

- Redes de amizade e interação do Facebook. 8 são usadas como referência em (?), mas dezenas, talvez algumas centenas, foram observadas nos experimentos da Seção 4.4.1.
- Milhares de tweets (talvez alguns milhões), geralmente vinculados à alguma *hashtag*. Em especial, a rede de retweets de 22 mil tweets com a hashtag #arenaNETmundial, foi analisada em (?).

- Mecanismos participativos como o Participa.br, Cidade Democrática e o AA. As redes de amizade e de interação do Participa.br foram analisadas em (?).

3

Métodos

Para realização desta pesquisa, foram necessários métodos consagrados, adequações e variantes. Esta seção expõe uma seleção destes métodos, para organizar o conhecimento e exemplificar esta diversidade:

- A Seção ?? expõe medidas simples de estatística circular, ou direcional. A contribuição neste caso é unicamente nos padrões encontrados, o método é bastante estabelecido.
- A Seção 3.1.1 expõe a síntese de redes de interação. Talvez haja contribuição na síntese do conceito de redes de interação, pois não encontramos (ainda) na literatura tal exposição concisa. De qualquer forma, o conceito e o procedimento para obtenção das redes a partir de dados é usual, a exposição neste texto e no artigo (?) serve principalmente ao intuito de formalização do processo.
- A Seção 3.2 é dedicada ao “Seccionamento de Erdös”, para obtenção dos três setores básicos da rede, compostos por: hubs, intermediários e periféricos. O método parece não ter sido aplicado antes para este fim, e é resultado imediato da observação das caudas longas de dados reais contrastadas com a rede Erdös-Rényi (?).

3.1 Estatística temporal e circular

Para observação de padrões temporais, foram consideradas escalas diferentes. Em cada escala, de segundos e meses, foram construídos histogramas de atividade e feitas algumas medidas de estatística circular. A fração $\frac{b_h}{b_l}$ entre a maior b_h e a menor b_l incidência nos histogramas serviram como pista sobre quão uniforme são as distribuições observadas.

Considere cada *medida* (dado pontual) como um número complexo com módulo 1, $z = e^{i\theta} = \cos(\theta) + i \sin(\theta)$, onde $\theta = medida \frac{2\pi}{periodo}$. Os momentos m_n , tamanhos dos momentos

R_n , ângulo médio θ_μ , e o ângulo médio reescalado θ'_μ são definidos assim:

$$\begin{aligned} m_n &= \frac{1}{N} \sum_{i=1}^N z_i^n \\ R_n &= |m_n| \\ \theta_\mu &= \text{Arg}(m_1) \\ \theta'_\mu &= \frac{\text{period}}{2\pi} \theta_\mu \end{aligned} \tag{3.1}$$

θ'_μ é usado como medida de localização. A dispersão é medida usando a variância circular $\text{Var}(z)$, o desvio padrão circular $S(z)$, e a dispersão circular $\delta(z)$:

$$\begin{aligned} \text{Var}(z) &= 1 - R_1 \\ S(z) &= \sqrt{-2 \ln(R_1)} \\ \delta(z) &= \frac{1 - R_2}{2R_1^2} \end{aligned} \tag{3.2}$$

Como esperado, há uma correlação positiva entre $\text{Var}(z)$, $S(z)$ e $\delta(z)$, como pode ser notado nas informações de suporte de (?). A medida $\delta(z)$ foi preferida na discussão dos resultados.

3.1.1 Formação das redes de interação

Redes de interação podem ser modeladas tanto com quanto sem peso, tanto dirigida quando não dirigida (?, ?, ?, ?). Neste trabalho, quando possível, consideramos redes dirigidas e com peso, a mais informativa das possibilidades. Nestes casos, desconsideramos as versões dirigidas sem peso, não dirigidas com peso e não dirigidas e sem peso.

Em geral, as redes de interação são obtidas da seguinte forma: uma reação direta do participante B a uma mensagem do participante A implica em uma aresta de A para B, representando a informação que foi de A para B. O raciocínio é: se B reagiu a uma mensagem de A, ele/ela leu o que A escreveu e formulou uma reação, portanto B assimilou informação de

A, assim $A \rightarrow B$. A inversão da direção da aresta produz a rede de status: B leu a mensagem e considerou o que A escreveu digno de resposta, dando status para A, portanto $B \rightarrow A$. Neste trabalho, as redes de interação são dirigidas conforme o fluxo de informação, $A \rightarrow B$. A Figura 3.1 expõe esta formação. Maiores detalhes são: arestas em ambas as direções são consideradas distintas; selfloops são consideradas não informativas (para os interesses atuais) e descartadas; a primeira interação $A \rightarrow B$ cria a aresta com peso um; a cada nova interação $A \rightarrow B$ um é adicionado ao peso da aresta. Estas redes de interação humana constam na literatura como portadoras de propriedades livres de escala (e pequeno mundo), como esperado para (algumas) redes sociais (? , ?).

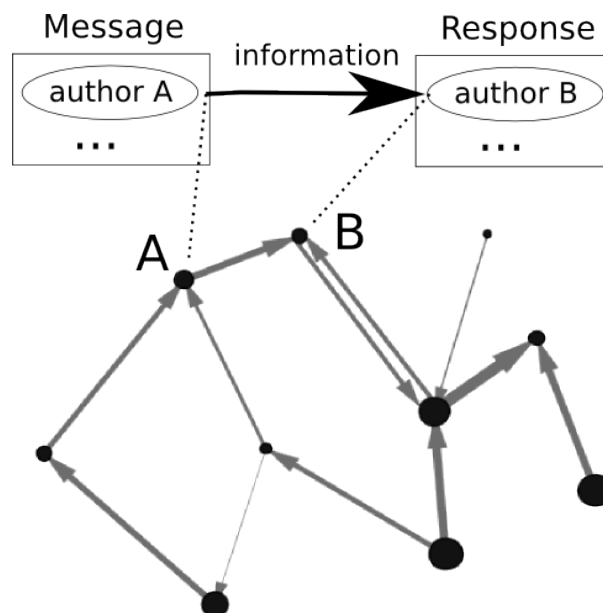


Figura 3.1 – A formação da rede de interação a partir de mensagens e respostas. Cada vértice representa um participante. Uma resposta do participante B a uma mensagem do participante A é considerada evidência de que B recebeu informação de A, representada então por uma aresta dirigida. Múltiplas mensagens adicionam “peso” à aresta dirigida. Maiores detalhes estão na Seção 3.1.1

3.2 Seccionamento de Erdős

Em uma rede livre de escala, os setores periféricos, intermediários e de hubs podem ser observados através de uma comparação com uma rede de Erdős Rényi com o mesmo número de arestas e vértices (?), como na Figura 3.2. Referiremos-nos a este procedimento como *seccionamento de Erdős*, com os setores resultantes chamados *setores de Erdős* (ou *setores*

primitivos, setores básicos da rede).

A distribuição de grau $\tilde{P}(k)$ de uma rede livre de escala ideal \mathcal{N}_f com N vértices e z arestas possui menos vértices com grau médios do que a distribuição $P(k)$ de uma rede Erdős-Rényi com o mesmo número de vértices e arestas. De fato, definimos (neste trabalho) o setor intermediário de uma rede como sendo o conjunto de todos os vértices cujo grau é menos abundante em uma rede real do que no modelo de Erdős-Rényi:

$$\tilde{P}(k) < P(k) \Rightarrow k \text{ é grau intermediário} \quad (3.3)$$

Se \mathcal{N}_f for dirigida e não possuir selfloops, a probabilidade de existência de uma aresta entre dois vértices arbitrários é $p_e = \frac{z}{N(N-1)}$. Um vértice em um dígrafo de Erdős-Rényi com o mesmo número de vértices e aresta, portanto mesma probabilidade p_e para existência de aresta, terá grau k com probabilidade:

$$P(k) = \binom{2(N-1)}{k} p_e^k (1-p_e)^{2(N-1)-k} \quad (3.4)$$

A cauda longa de graus baixos consiste nos vértices de borda, i.e. o setor periférico ou periferia, onde $\tilde{P}(k) > P(k)$ e k é mais baixo que qualquer valor intermediário de k . A cauda longa de grau alto é o setor dos hubs, i.e. $\tilde{P}(k) > P(k)$ e k é maior que qualquer valor de k do setor intermediário. O raciocínio para esta classificação é: os vértices tão conectados que são virtualmente inexistentes em redes conectadas por puro acaso (i.e. sem ligação preferencial) são corretamente associadas aos hubs. Vértices com pouquíssimas conexões, e muito mais abundantes do que esperado por puro acaso, são atribuídos à periferia. Vértices com valores de grau previstos como os mais abundantes caso as conexões sejam fruto de puro acaso, valores próximos da média, e menos abundantes em nas redes reais, são classificados como intermediários.



Figura 3.2 – As distribuições de grau de modelos ideais de redes livres de escala e Erdős-Rényi. A segunda possui mais vértices intermediários, enquanto a primeira possui mais vértices periféricos e hubs. As bordas dos setores são definidas pelas duas interseções k_L e k_R das distribuições de conectividade. Os graus característicos estão nos intervalos compactos: $[0, k_L]$, $(k_L, k_R]$, $(k_R, k_{max}]$ para os setores de Erdős (periferia, intermediários e hubs).

Para assegurar a validade estatística dos histogramas, os intervalos podem ser escolhidos de forma que contenham ao menos η vértices da rede real. Assim, cada intervalo, começando no grau k_i , estende-se por $\Delta_i = [k_i, k_j]$, onde j é o menor inteiro tal que há ao menos η vértices com grau maior que ou igual a k_i , e menos que k_j . Isso altera a equação 3.3 para:

$$\sum_{x=k_i}^{k_j} \tilde{P}(x) < \sum_{x=k_i}^{k_j} P(x) \Rightarrow i \text{ é intermediário} \quad (3.5)$$

Se a força s for usada para comparação, P permanece a mesma, mas $P(\kappa_i)$ com $\kappa_i = \frac{s_i}{\bar{w}}$ deve ser usado na comparação, com $\bar{w} = 2 \frac{z}{\sum_i s_i}$ o peso médio da aresta e s_i o peso do vértice i . Para graus de entrada e saída (k^{in}, k^{out}) a comparação com a rede real deve ser feita com:

$$\hat{P}(k^{way}) = \binom{N-1}{k^{way}} p_e^k (1-p_e)^{N-1-k^{way}} \quad (3.6)$$

where way (sentido) pode ser in or out (entrada e saída). Forças de entrada e saída (s^{in}, s^{out}) são divididas por \bar{w} e comparadas também usando \hat{P} . Note que p_e permanece a mesma, pois cada aresta é uma aresta de entrada (ou de saída), e há no máximo $N(N-1)$ arestas entrando (ou saindo), portanto $p_e = \frac{z}{N(N-1)}$ assim como no caso do grau total

Em outras palavras, seja γ e ϕ inteiros no intervalos. $1 \leq \gamma \leq 6$, $1 \leq \phi \leq 3$, e cada uma das seis possibilidades de seccionamento de Erdős $\{E_\gamma\}$ possui três setores de Erdős $E_\gamma = \{e_{\gamma,\phi}\}$ definidos como:

$$\begin{aligned} e_{\gamma,1} &= \{ i \mid \bar{k}_{\gamma,L} \geq \bar{k}_{\gamma,i} \} \\ e_{\gamma,2} &= \{ i \mid \bar{k}_{\gamma,L} < \bar{k}_{\gamma,i} \leq \bar{k}_{\gamma,R} \} \\ e_{\gamma,3} &= \{ i \mid \bar{k}_{\gamma,i} < \bar{k}_{\gamma,R} \} \end{aligned} \quad (3.7)$$

onde $\{\bar{k}_{\gamma,i}\}$ é:

$$\begin{aligned}
\bar{k}_{1,i} &= k_i \\
\bar{k}_{2,i} &= k_i^{in} \\
\bar{k}_{3,i} &= k_i^{out} \\
\bar{k}_{4,i} &= \frac{s_i}{\bar{w}} \\
\bar{k}_{5,i} &= \frac{s_i^{in}}{\bar{w}} \\
\bar{k}_{6,i} &= \frac{s_i^{out}}{\bar{w}}
\end{aligned} \tag{3.8}$$

e ambos $\bar{k}_{\gamma,L}$ e $\bar{k}_{\gamma,R}$ são encontrados usando $P(\bar{k})$ ou $\hat{P}(\bar{k})$ como descrito acima.

Como métricas diferentes podem ser usadas para identificar os três tipos de vértices, critérios compostos podem ser definidos. Após uma inspeção cuidadosa das possibilidades, os critérios compostos foram reduzidos a 6: $\{C_\delta\}_{\delta=1}^6$. Utilizando as Equações 3.7, estes critérios compostos C_δ , com δ inteiro no intervalo $1 \leq \delta < 6$ podem ser descritos como:

$$\begin{aligned}
C_1 &= \{c_{1,\phi} = \{i \mid i \in e_{\gamma,\phi}, \forall \gamma\}\} \\
C_2 &= \{c_{2,\phi} = \{i \mid \exists \gamma : i \in e_{\gamma,\phi}\}\} \\
C_3 &= \{c_{3,\phi} = \{i \mid i \in e_{\gamma,\phi'}, \forall \gamma, \forall \phi' \geq \phi\}\} \\
C_4 &= \{c_{4,\phi} = \{i \mid i \in e_{\gamma,\phi'}, \forall \gamma, \forall \phi' \leq \phi\}\} \\
C_5 &= \{c_{5,\phi} = \{i \mid i \in e_{\gamma,\phi'}, \forall \gamma, \\
&\quad \forall (\phi' + 1) \% 4 \leq (\phi + 1) \% 4\}\} \\
C_6 &= \{c_{6,\phi} = \{i \mid i \in e_{\gamma,\phi'}, \forall \gamma, \\
&\quad \forall (\phi' + 1) \% 4 \geq (\phi + 1) \% 4\}\}
\end{aligned} \tag{3.9}$$

No artigo (?), os critérios C_1 , C_3 e C_5 foram chamados exclusivistas, os critérios C_3 e C_4 de cascata e os critérios C_5 e C_6 de externos. Note que uma cascata exclusivista C_3 é a mesma classificação que uma cascata invertida (considera-se dos periféricos aos hubs) e inclusivista. Estes critérios compostos são especialmente úteis para observar estruturas com poucos participantes ou fruto de pouca atividade (veja as figuras do documento de Supporting Information de (?)).

3.3 Média e desvio do PCA ao longo do tempo

A Análise de Componentes Principais (PCA é a sigla consagrada, do inglês Principal Component Analysis) foi usada para observar a estabilidade na formação das componentes principais. A PCA é bastante estabelecida e bem documentada e foi usado para saber: 1) quais as medidas que contribuem para cada componente e em que proporção; 2) quanto da dispersão está concentrada em cada componente.

Ou seja, foram analisados os autovetores e autovalores das matrizes de vértices e suas medidas da seguinte forma: seja $\mathbf{X} = \{X[i, j]\}$ a matriz de todos os vértices i e respectivos valores de cada medida j , $\mu_X[j] = \frac{\sum_i X[i, j]}{J}$ a média da métrica j , $\sigma_X[j] = \sqrt{\frac{\sum_i (X[i, j] - \mu_X[j])^2}{J}}$ o desvio padrão da métrica j , e $\mathbf{X}' = \frac{X[i, j] - \mu_X[j]}{\sigma_X[j]}$ a matriz com *z-score* de cada métrica j de \mathbf{X} em cada coluna. Seja $\mathbf{V} = \{V[j, k]\}$ a matriz $J \times J$ de autovetores da matriz \mathbf{C} de covariância de \mathbf{X}' , um autovetor por coluna. Cada autovetor combina as medidas originais em uma componente principal, portanto, basta observar $V'[j, k] = 100 * \frac{|V[j, k]|}{\sum_{j'} |V[j', k]|}$ para saber com que percentagem a medida j contribuiu para a componente principal k . Com o vetor de k autovalores $D[K]$, basta observar $D'[k] = 100 * \frac{D[k]}{\sum_{k'} D[k']}$ para saber a percentagem da dispersão pela qual a componente principal é responsável. Com os autovalores k ordenados de forma decrescente, em geral basta observar os primeiros três autovalores e respectivos autovetores em percentagens $\{(V'[j, k], D'[k])\}$, pois em geral já revelam padrões suficientes para uma boa análise e somam entre 60 e 95% da dispersão de todo o sistema. Em (?), em especial, foram feitas médias e desvios das contribuições de cada componente para a dispersão e das medidas em cada componente. Ou seja, dadas L observações l , cada uma com k pares de autovalores e autovetores, são observadas, para cada medida, a média $\mu_{V'}[j, k]$ e desvio $\sigma_{V'}[j, k]$ da medida j na componente principal k , e a média $\mu_{D'}[k]$ e desvio $\sigma_{D'}[k]$ da contribuição da componente k na dispersão do sistema:

$$\begin{aligned}
\mu_{V'}[j, k] &= \frac{\sum_l^L V'[j, k, l]}{L} \\
\sigma_{V'}[j, k] &= \sqrt{\frac{(\mu_{V'} - V'[j, k, l])^2}{L}} \\
\mu_{D'}[k] &= \frac{\sum_l^L D'[k, l]}{L} \\
\sigma_{D'}[k] &= \sqrt{\frac{(\mu_{D'} - D'[k, l])^2}{L}}
\end{aligned} \tag{3.10}$$

A matriz de covariância \mathbf{C} também é observada diretamente para uma primeira pista sobre os padrões. Isso é feito com associações simples: valores absolutos pequenos indicam baixa correlação (a princípio independência); valores altos indicam correlação positiva (diretamente proporcional); valores negativos com módulo grande indicam correlação negativa (inversamente proporcional).

3.3.1 Medidas consideradas e acrescentadas

A topologia das rede sestudas foram estudadas utilizando PCA (?) com uma pequena seleção das medidas mais básicas e fundamentais de cada vértice. Formalmente, sejam i, j vértices e e_{ij} uma aresta de j para i (ou $j \rightarrow i$) e w_{ij} seu peso. Então:

- Grau $k_i = \sum_j (e_{i,j} + e_{j,i})$: número de arestas conectadas a i .
- Grau de entrada $k_i^{in} = \sum_j e_{i,j}$: número de arestas que terminam no vértice i .
- Grau de saída $k_i^{out} = \sum_j e_{j,i}$: número de arestas que partem do vértice i .
- Força $s = \sum_j (w_{i,j} + w_{j,i})$: soma dos pesos de todas as arestas conectadas ao vértice i .
- Força de entrada $s_i^{in} = \sum_j w_{i,j}$: soma dos pesos de todas as arestas que terminam no vértice i .
- Força de saída s_i^{out} : sima dos pesos de todas as arestas que partem do vértice i .

- Coeficiente de clusterização $cc_i = \frac{\sum e_{j_1 j_2}}{\binom{k_i}{2}}$: fração de pares de vizinhos j_1, j_2 de i que são conectados. A medida usual para grafos não direcionados foi usada.
- Intermediação (betweenness centrality) $bt_i = \frac{\Delta_i}{\Delta}$: fração entre o número Δ_i de geodésicas entre cada par de vértices da rede que contém o vértice i e Δ , o número total de geodésicas entre cada par de vértices da rede. A intermediação foi calculada considerando direções e peso, como especificado em (?).

Para apreender as simetrias das atividades dos participantes, as seguintes métricas foram introduzidas para o vértice i :

- Assimetria: $asy_i = \frac{k_i^{in} - k_i^{out}}{k_i}$.
- Média da assimetria das arestas: $\mu_i^{asy} = \frac{\sum_{j \in J_i} e_{ji} - e_{ij}}{|J_i| = k_i}$, onde e_{xy} é 1 se houver aresta de x para y , e 0 caso contrário. J_i é o conjunto de vizinhos do vértice i , e $|J_i| = k_i$ é o número de vizinhos do vértice i .
- Desvio padrão da assimetria das arestas: $\sigma_i^{asy} = \sqrt{\frac{\sum_{j \in J_i} [\mu_i^{asy} - (e_{ji} - e_{ij})]^2}{k_i}}$.
- Desequilíbrio: $dis_i = \frac{s_i^{in} - s_i^{out}}{s_i}$.
- Média do desequilíbrio das arestas: $\mu_i^{dis} = \frac{\sum_{j \in J_i} \frac{w_{ji} - w_{ij}}{s_i}}{k_i}$, onde w_{xy} é o peso da aresta $x \rightarrow y$ e zero se não houver tal aresta.
- Desvio padrão do desequilíbrio das arestas: $\sigma_i^{dis} = \sqrt{\frac{\sum_{j \in J_i} [\mu_i^{dis} - \frac{(w_{ji} - w_{ij})}{s_i}]^2}{k_i}}$.

3.4 Teste de Kolmogorov-Smirnoff para os textos produzidos por cada setor

Sejam $F_{1,n}$ e $F_{2,n'}$ duas distribuições cumulativas empíricas onde n e n' são o número de observações em cada amostragem. O teste de Kolmogorov-Smirnov de amostragem dupla rejeita a hipótese nula se:

$$D_{n,n'} > c(\alpha) \sqrt{\frac{n + n'}{nn'}} \quad (3.11)$$

onde $D_{n,n'} = \sup_x [F_{1,n} - F_{2,n'}]$ e $c(\alpha)$ é dado para cada α segundo a Tabela 3.1:

Tabela 3.1 – Relação entre α e $c(\alpha)$ para o teste de Kolmogorov-Smirnov

α	0.1	0.05	0.025	0.01	0.005	0.001
$c(\alpha)$	1.22	1.36	1.48	1.63	1.73	1.95

3.4.1 Adaptação

Para alguns dos resultados, utilizamos $c(\alpha)$ como pista sobre o quão diferentes são pares de distribuições empíricas. São calculados $D_{n,n'}$, enquanto n e n' são dados. Assim, todos os termos da Equação 3.11 são positivos e $c(\alpha)$ pode ser isolado:

$$c(\alpha) < \frac{D_{n,n'}}{\sqrt{\frac{n+n'}{nn'}}} = c'(\alpha) \quad (3.12)$$

3.5 Audiovisualização de dados

Redes foram visualizadas com imagens, videos e engenhocas online para esta pesquisa (?, ?, ?). Também foram sonificadas, em especial como faceta auditiva de animações abstratas (?, ?, ?, ?). Tais “audiovisualizações” foram cruciais para guiar a pesquisa para as características mais importantes das redes de evolução. Além disso, os tamanhos relativos dos três setores de Erdős foram visualizados como linhas temporais. A visualização da estrutura em rede foi especialmente útil na inspeção dos dados e estruturas das redes de email.

3.6 Considerações tipológicas e humanísticas

As redes estudadas são constituídos de seres humanos. Quando há classificação envolvida, sejam dos agentes ou dos sistemas em si, reflexões humanísticas são pertinentes, como as disparadas pelas perguntas:

- Qual o potencial estigmatizante da classificação?
- O que mais sabemos sobre o indivíduo ou a rede que é classificada, ou seja, é considerada(o) de um tipo?
- Quais dados posso usar sem desviar a atenção para leis e processos de comitês de ética?
- Qual a melhor forma de proceder com os dados e conhecimentos relacionados?

Todas estas questões, e muitas outras, estão em constante amadurecimento com grupos de pesquisa (?), leituras, e contatos individuais com outros pesquisadores (?, ?).

3.7 Web semântica

Para a formalização de conceitualizações, e para formatos de dados apropriados para armazenamento, compartilhamento e referência, foram adotadas as recomendações de dados ligados / web semântica da W3C (?, ?, ?). De forma bastante resumida, o arcabouço utilizado pode ser visto como uma forma de formalizar conceitos (classes), relações entre conceitos (propriedades) e instâncias dos conceitos (indivíduos). As informações são expressas de forma semi-estruturada em RDF: triplas “sujeito predicado objeto”, com o sujeito sempre uma classe, o predicado sempre uma propriedade, e o objeto sempre uma classe ou dado. As propriedades podem ter aspectos específicos, chamados “axiomas de propriedade”. As classes podem ser restritas a possuírem relações arbitrárias, chamadas “restrições de classe”. É uma recomendação da W3C e o padrão acadêmico para dados ligados, i.e. para representação na web semântica.

Utilidades da tecnologia incluem:

- inferência por máquina através de especificações ontológicas.
- Interconexão de dados de fontes (bases de dados) diferentes.
- Organização de conhecimento específico para consideração cuidadosa, seja individual ou em grupo.

As ontologias são chave dentre as tecnologias de web semântica. Uma ontologia é geralmente definida como uma “especificação de uma conceitualização”, e a recomendação é o uso do padrão OWL. Os vocabulários são coleções de termos e metadados, como definição, e a recomendação é o uso do padrão SKOS. O estado da arte de web semântica tem apresentado avanços, por exemplo, é capaz de realizar inferências úteis, especialmente para buscas. Por outro lado, é uma tecnologia complicada e com algumas dificuldades de implementação. Por exemplo, um conceito SKOS é um indivíduo, e uma classe OWL, se identificado com um conceito SKOS é, por consequência um indivíduo. Neste caso, os recursos de inferência por máquina ficam limitados dada a complexidade da especificação. Dito de outra forma, caso na especificação conste uma classe

3.7.1 A construção de ontologias OWL e vocabulários SKOS

Para formalizar conceitualizações referentes às estruturas sociais, mais especificamente relacionadas à participação social, foram construídas ontologias OWL e vocabulários SKOS a partir de entrevistas com especialistas: acadêmicos e gestores públicos. Também foram feitas ontologias e vocabulários a partir de bancos de dados, decretos presidenciais e outras documentações. O processo consistiu sempre que possível na coleta de informações, formalização dos conceitos e devolutiva aos entrevistados, com figuras e outras documentações, até que não tivessem mais contribuições.

3.7.2 A triplificação de dados relacionais

Para disponibilização e uso de dados de diferentes fontes, foram feitos pequenos programas de computador (scripts) para acessar dados relacionais e escrever triplas RDF. Estes scripts criam conceitos novos e os vincula às instâncias dos dados. Na sequência, acessa as ontologias pertinentes, salva uma versão com os dados e ontologias, e uma versão com os dados, as ontologias e as triplas resultantes da inferência.

4

Resultados

4.1 Estabilidade temporal e diferenciação textual em redes de interação humana

Explicitados cuidadosamente em (?), os principais resultados são:

- A atividade ao longo do tempo é praticamente a mesma para todas as listas de email analisadas, e em todas as escalas. A maior dispersão foi encontrada nos segundos e minutos, seguida pelos dias do mês, meses, dias da semana e horas do dia. Padrões estáveis foram apreciados em todas estas escalas: segundos, minutos e dias do mês apresentaram uniformidade; meses parecem seguir calendários acadêmicos e escolares; dias da semana apresentam redução para dois ou um terço das atividades nos finais de semana; nas horas do dia, há concentração de atividades das 12-18h, o pico, porém, ocorre pouco antes das 12h.
- A fração de participantes em cada setor de Erdös é estável ao longo do tempo e pode ser determinada mesmo com poucas mensagens.
- As métricas topológicas se combinam nas componentes principais do PCA da mesma forma para todas as listas e todos os snapshots.
- As medidas de simetria da topologia, como definidas na Seção 3.3.1, apresentam mais dispersão do que o usual coeficiente de clusterização. O coeficiente de clusterização se combina com os desvios padrões de assimetria e desequilíbrio para a formação da terceira componente.
- Estes comportamentos são muito estáveis para em redes de interação de email. Nas outras redes analisadas, Twitter e Participa.br apresentaram redes bastante similares às

de email. Nas redes do Facebook foram encontradas algumas redes que diferiam do modelo apresentado pelas redes de listas públicas de email.

- Para um mesmo número de mensagens (sejam 20 mil) e diferentes listas, há uma correlação negativa entre número de participantes e número de threads quando os participantes são poucos (até 2 mil participantes quando são 20 mil mensagens). Para uma quantidade maior de participantes, há uma correlação positiva entre o número de participantes e o número de threads. Este fato deve estar relacionada a outras características topológicas e textuais da rede e pode servir para uma tipologia das próprias redes.
- Especulações humanísticas, especialmente sobre questões tipológicas e antropológicas, são seguem imediatamente os resultados quantitativos. Em especial, a setorialização de Erdős implica em uma tipologia de agentes em redes humanas de interação. Esta tipologia é, a princípio, não estigmatizante pois os agentes mudam de setor o tempo todo. Além disso, um mesmo agente pertence a todos os setores ao mesmo tempo, mas em redes diferentes. Maiores qualificações desta tipologia, decorrente do pertencimento a um setor de Erdős, estão no próprio artigo.

Com base nestes resultados, foi investigada a produção de texto na rede, com foco na potencial relação entre topologia, setor de Erdős e texto produzido (?). As principais conclusões são:

- Os textos produzidos por cada setor de Erdős diferem bastante: os $c(\alpha)$ fruto das comparações são tão grandes que as tabelas não registram os valores. Além disso, as diferenças entre setores iguais de redes diferentes são, via de regra, maiores que as encontradas entre setores diferentes da mesma rede.
- As características topológicas e textuais de cada agente apresentam correlações não triviais (como entre intermediação e uso de advérbios) e triviais (como entre grau e número de caracteres escritos). Mesmo assim, são muito menos correlacionadas entre si do que separadamente. Ou seja, as componentes principais possuem tendência a prevalência de medidas topológicas **ou** textuais, mas combinam-se medidas de ambos os tipos.
- Dada uma quantidade grande de texto, algumas medidas estatísticas relacionadas ao tamanho das palavras parecem se conservar. Não foi dada uma explicação definitiva

para este fenômeno, embora haja esperança de que consigamos explicações simples (o problema não parece difícil). Algumas destas medidas estão ao final de (?), resultantes de somas cumulativas de diferenças de histogramas.

Estes resultados permearam várias outras frentes de pesquisa e desenvolvimento tecnológico (? , ? , ? , ? , ? , ? , ?).

4.2 Criação da nuvem brasileira de dados participativos ligados

Iniciada para formalizar os tipos de rede e participantes, e estruturas que pudessem formar, esta frente rapidamente se voltou para formalizações de conceitualizações referentes às estruturas e sistemáticas já em prática e previstos em lei. Dados também foram publicados, fazendo uso das ontologias feitas. Estes dados e ontologias foram em grande parte já publicados e estão em uso, mas a grande maioria não recebeu artigo científico.

4.2.1 Síntese de ontologias OWL

Ontologias OWL feitas neste trabalho:

- OPS (Ontologia de Participação Social): é uma ontologia fruto de diversos esforços da América Latina, principalmente do Brasil. Nesta pesquisa, revisamos a ontologia e disponibilizamos um código OWL em uso por instâncias diferentes da academia, Estado e sociedade civil.
- OPa (Ontologia do Participa.br): esta é uma ontologia feita para e partir dos dados do Participa.br (Portal Federal de Participação Social, SG-PR).
- OPP (Ontologia de Portais Participativos): esta ontologia foi pensada com a equipe do Participa.br e outros especialistas como esquema geral de portais participativos. Onto-

logia relativamente complexa, centrada em 3 classes: Participante, Comunidade, Mecanismo Participativo.

- Ontologiaa (Ontologia do AA): é uma pequena ontologia para o minimalista AA (Autor-regulação Algorítmica), um software para registrar e compartilhar processos intelectuais como para pesquisa e arte (?, ?).
- OCD (Ontologia do Cidade Democrática): é uma ontologia extensa para o portal participativo Cidade Democrática, da sociedade civil. Dado o tamanho da ontologia, o processo de sua construção deu origem ao método de construção de ontologia OWL a partir dos dados, descrito na Seção ?? e utilizado também para a construção da OPa (acima).
- OBS (Ontologia da Biblioteca Social): Esta ontologia consiste na verdade em uma coleção de ontologias, uma para cada conceito que precisasse de uma abordagem dedicada, e uma para cada mecanismo ou instância de participação social prevista no Decreto Presidencial nº 8.243 de 23 de maio de 2014, conhecido como decreto da PNPS ou da Política Nacional de Participação Social. Esta ontologia também contou com entrevistas feitas diretamente para este trabalho, além da contribuição de uma oficina na Secretaria-Geral da Presidência da República, para explicitar a utilidade destas formalizações semânticas e coletar informações sobre diversos mecanismos e instâncias de participação social previstos em lei e praticados.
- VBS (Vocabulário da Biblioteca Social): este vocabulário é uma adaptação (com complementos) da OBS no formato de vocabulário, principalmente para permitir uso junto ao DSPACE.

As ontologias são todas construídas através de scripts, com exceção da OPP, feita no Protegé.

4.2.2 Formatação de dados ligados a partir de dados relacionais

Três roteiros de conversão de dados foram feitos para conversão de dados relacionais em dados RDF enriquecidos semanticamente:

- Triplificação do Participa.br: foi elaborado e disponibilizado um roteiro para formatação em RDF de dados relacionais do Participa.br (originalmente em PostgreSQL) (?). Estes dados foram depois usados, através de buscas SparQL, para auxiliar na construção da OPa (?).
- Triplificação dos dados do Cidade Democrática: foi elaborado um roteiro para formatação em RDF de dados do Cidade Democrática (originalmente em MySQL). Estes dados foram depois utilizados para auxiliar na construção da OCD (?).
- Triplificação dos dados do AA: foi elaborado um roteiro para formatação em RDF de dados do AA encontrados em bancos de dado MySQL e MongoDB, e em logs de IRC. Esta triplificação é especialmente útil pela simplicidade do AA, o que permite experimentar abordagens diferentes e escolher a melhor, antes de desenvolver ontologias e triplificações mais complicadas. Esta foi a única triplificação feita depois da ontologia e não aproveitada para a construção da ontologia.

4.2.3 Escritos, ontologias e dados publicados

Artigo sobre a OPS (?). Produtos PNUD/ONU (?, ?, ?). Dados em RDF do Participa.br, Cidade Democrática e AA no Datahub.io (?). Ontologias (?, ?, ?, ?). Vocabulários (?). Scripts para síntese das ontologias e triplificação de dados (?, ?, ?, ?, ?, ?).

4.2.4 Método de construção de ontologias orientado aos dados

Um método de levantamento de ontologia orientado aos dados surgiu, potencialmente útil a todos os portais e software em necessidade de ontologias, e foi responsável por 2 ontologias (OPA dados e OCD). Resumidamente, o método consiste em: representar os dados de interesse como RDF; realizar buscas SparQL para construir ontologia trivial com as classes e propriedades encontradas; realizar buscas SparQL para inferir restrições de classe e axiomas de propriedade.

4.3 Aparato em software

Scripts para verificar as estabilidades topológicas e diferenciações textuais em redes humanas estão reunidos em um pacote oficial da linguagem Python (?). Estão sendo feitos pacotes para organizar com os scripts todos de triplificação de dados, construção de ontologias e mineração das estruturas (?, ?). Os dados, classes e propriedades das ontologias e triplificações estão também disponíveis (em parte) através das próprias URIs, redirecionadas via purl.org para um servidor de pesquisa. Os dados estão em um endpoint SparQL, e scripts para a mineração destes dados estão disponíveis em interfaces web via um IPython Notebook. As ontologias estão também disponíveis na instalação do Webprotegé da Stanford.

4.4 Aproveitamento

A proposta do trabalho é comprovar e desenvolver algumas formas para o participante destas redes se beneficiar delas. Os resultados das seções anteriores servem a este fim, sendo, porém, mais desenvolvimentos científicos e tecnológicos do que formas imediatas de benefício para o participante. Esta seção é uma investida mais reta nesta direção, tendo como base os

métodos e resultados alcançados.

4.4.1 Procedimentos de percolação social

Foram realizados procedimentos cíclicos e procedimentos efêmeros no tecido social para observar as reações e testar hipóteses de modificação das estruturas sociais. Experimentos paradigmáticos:

- Em dezembro de 2012 foram iniciados ciclos de coleta e difusão de informação sobre as redes sociais e o potencial benéfico para o indivíduo civil. Duraram meses e redes diferentes foram usadas. Foram confirmadas as hipóteses de modificação das estruturas sociais para comportar a pesquisa, com suporte humano, financeiro e institucional. Foram confirmadas hipóteses de modificação do tratamento da sociedade sobre o tema. Foram confirmadas hipóteses de que seriam verificáveis estes resultados tanto em minhas interações cotidianas, via praticamente todos os meios. Em especial, a minha rede de amizades do Facebook foi utilizada (cada vértice é um amigo meu, cada aresta indica uma amizade entre eles), e amigo por amigo foi acionado, dos menos conectados aos mais conectados.
- Escrita para os de maior betweenness e de maior closeness, mostrar que não bate para as listas.

O segundo experimento foi feito por vários parceiros de pesquisa, por onde pode ser verificado. O segundo experimento ainda não foi replicado. É comum após alguma apresentação alguém se prontificar a fazê-lo, mas isso nunca aconteceu. Eu mesmo já me comprometi comigo em replicar o experimento, mas não aconteceu. Uma tese usual é que haja bloqueios mentais que impedem a intervenção tão direta na nossa existência social, ou nosso eu-rede (?, ?).

4.4.2 Física antropológica

Estes experimentos, e outras anotações de dados, são, no escopo deste trabalho, consideradas questionáveis, potencialmente erradas mesmo, caso não sejam observadas algumas diretrizes:

- estudo das próprias redes como estudo de si.
- Uso de anotações de si com a devida atenção para não expor as pessoas desnecessariamente.
- Abertura constante dos procedimentos, dados e códigos.

Estas diretrizes são considerações da tradição antropológica, e, portanto, configuram uma pesquisa de “física antropológica”. O termo começou a ser usado no Brasil principalmente por acadêmicos (físicos, cientistas da computação, filósofos, antropólogos).

4.4.3 Sistemas de recomendação para o enriquecimento da navegação semântica de recursos

O relacionamento semântico de dados e conceitualizações via tecnologias de web semântica são feitos para que os recursos sejam navegáveis à semelhança das usuais páginas HTML da WWW (por isso chama-se **web** semântica). Mas, ao invés de páginas HTML, recursos em RDF e links via critérios semânticos. No decorrer desta pesquisa, surgiram possibilidades de enriquecimento da navegação semântica. Esta recebeu até prova de conceito (?):

- São geradas estruturas auxiliares: rede de amizades, rede de interação, histograma de radicais (do texto), seleção dos 400 radicais mais incidentes para caracterizar o domínio, histograma de radicais de cada recurso (postagem, comentário, participante, etc).
- O solicitante pode requerer recomendação de recursos de qualquer tipo a partir de um recurso de qualquer tipo. Pode optar por métodos de recomendação topológico, textual ou híbrido. Pode optar por polaridade de similaridade, dissimilaridade ou mista.

- Os métodos são todos explicitados em texto e código para o participante. Cada método conta também com um registro de potenciais utilidades para o participante.

4.4.4 Compreensão sobre as estruturas sociais

Praticamente todos os resultados citados acima são úteis para compreender as estruturas sociais e são fruto desta tentativa. Há a intenção de escrever uma introdução às redes complexas e instruir o leitor através destes conhecimentos e tecnologias para exploração de si próprio. Um esboço consta em (?).

Em exemplo de fundamentação que parece não constar na literatura é a constatação de que a propriedade livre de escala é consequência da distribuição equânime de recursos pelos setores da rede. Para apreender este fato, considere uma quantidade R de recursos. Considere que para cada tamanho T , sejam contadas as $\frac{R}{T}$ partes de tamanho T que cabem em R . Teremos uma curva como exposta na Figura 4.1.

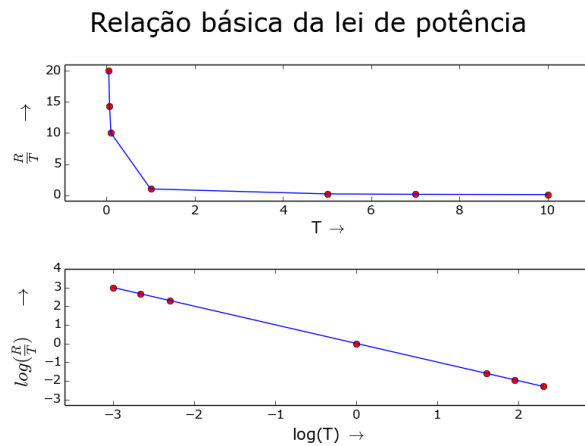


Figura 4.1 – A curva resultante da divisão de uma mesma quantidade R de recurso em $\frac{R}{T}$ partes de tamanho T . Utilizada para expor uma potencial causa da ubiquidade da propriedade livre de escala.

Por simplicidade, considere $R = 1$ e $f = \frac{1}{T}$. Segue que $\log(f) = -\log(T)$, e uma reta descreve a relação entre $\log(f)$ e $\log(T)$. Considere que $f = \frac{1}{T} + \frac{1}{U}$. Segue que $\log(f) = -\log(T \cdot U)$. Se $U=T$, $\log(f) = -2\log(T)$, e $\gamma = 2$ como previsto pela literatura. Os recursos são alocados pelo sistema, por exemplo, T tempo e U agentes. Ora, o tempo alocado pelos é o tempo dos próprios agentes, portanto é razoável considerar $T=U$. Possíveis causas para a distorção do valor exato $\gamma = 2$ são: propriedades fractais, recursos em número diferente,

associações entre os recursos.

5

Afazeres e cronograma

5.1 Comparativo de afazeres

Tabela 5.1 – Relação de tarefas feitas e por fazer. Há literatura pronta e vários documentos em mãos para serem aprofundados.

	feito	por fazer
escrita	artigo de estabilidade em redes de interação humana (?); artigo sobre a Ontologia de Participação Social (?); ensaio descrevendo simbiose com PNUD/ONU e SG-PR (?); artigo com descrição psicofísica da música no áudio digital (?); produtos PNUD 3, 4 e 5, descrevendo sistemas de classificação, recomendação, ontologias e triplicações (?, ?, ?); artigo sobre AA (?); versões iniciais e rascunhos dos artigos sobre física antropológica (?), sobre votação contínua por aprovação e participação (?), sobre diferenças da produção textual nos setores de Erdős (?), sobre visualização de redes de interação em evolução temporal (?), sobre audiovisualização de redes de interação em evolução temporal (?), sobre performance audiovisual via controle coletivo de código e projeção ao vivo (?),	publicar artigos no arXiv; repassar produtos PNUD um e dois; “Complex Networks Gradus ad Parnassum”, um compêndio de redes complexas que utiliza a existência em rede do leitor para instrumentalizá-lo; artigo sobre tipologia de agentes humanos em redes de interação; versão desenvolvida do escrito sobre física antropológica; documentação do pacote Python oficial “percolation” (?); artigo com o método de levantamento de ontologias orientado aos dados; artigo sobre os dados participativos ligados brasileiros; artigo com os experimentos de coleta e difusão de informação; versão final do ensaio do AA (?)
leitura	documentação de redes complexas; documentação de web semântica; amadurecimentos coletivos frutos das difusões de informação; numerosos artigos da wikipédia, protocolos e manuais de software; cursos do coursera, alguns completos; literatura de PLN; literatura de visualização de dados e mineração de dados; artigos, exemplos especiais são ()	estatística e física estatística, talvez manuais de R também; terminar livros referência de redes complexas; absorver uma literatura mínima sobre antropologia; visita à topologia tradicional e teoria de grafos na computação
experimentos	experimentos contínuos e efêmeros	confirmar experimentos contínuos
comunidade	repassados resultados para comunidades estudadas; confirmada permissão dos desenvolvedores do GMANE para utilizar os dados das listas para pesquisa;	repassar às comunidades estudadas um resumo dos resultados, em linguagem mais acessível que os artigos
disciplinas	cursadas disciplinas Introdução ao Processamento de Linguagem Natural, Mineração de dados; Visualização de dados; Introdução à web semântica	-//-
considerar banca	-//-	preparar apresentação; apresentar e anotar contribuição da banca; conduzir com orientador

Tabela 5.2 – Relação de tarefas feitas e por fazer. Há literatura pronta e vários documentos em mãos para serem aprofundados.

	feito	por fazer
software	telões de streaming de estruturas sociais; instância de Monitoramento Massivo e Interativo da Sociedade pela Sociedade para Aproveitamento (MMISSA); engenharias no AARS (A Análise de Redes Sociais) e MyNSA (Monitoring yields Natural Streaming and Analysis); rotinas de triplificação de dados; rotinas de construção de ontologias; rotinas para, dada a rede social, sintetizar música e animação visual sincronizados; rotinas com fundamentos e provas de conceitos para genérica classificação e recomendação de recursos;	finalizar pacotes oficiais da linguagem Python; estação de monitoramento massivo; sistema de navegação semântica enriquecido com recomendação de recursos;
dados	dados triplificados do Participa.br, do Cidade Democrática, do AA	revisar dados triplificados; triplificar dados do Facebook, Twitter e listas de email.
ontologias e vocabulários	OPS, OPa, OPP, OCD, Ontologiaa, OBS e VBS iniciais.	ontologias e vocabulários revisados;
audiovisualização	prelúdio social; four hubs dance;	músicas focando em algum dos participantes da rede; mais músicas sobre as redes do Facebook; mais músicas sobre as redes de email; rotinas para fazer animação abstrata sobre rede de interação e mixar com clipe do youtube; sonificação de dados semânticos e renderização de imagens sincronizadas

5.2 Cronograma

Este projeto foi inicialmente dividido segundo as etapas a seguir e usadas como referência na Tabela 5.3:

1. Créditos Obrigatórios: cumprimento dos créditos obrigatórios em disciplinas, exigidas pelo programa de Doutorado do IFSC/USP.
2. Revisão da literatura.
3. Acréscimos aos modelos atuais com o foco no participante da rede.
4. Implementação computacional.
5. Escrita da tese.
6. Escrita e publicação dos resultados em artigos.
7. Trocas com pessoas externas, estabelecimento de colaborações.

Tabela 5.3 – Cronograma de atividades ao longo dos semestres, descritas na Seção 5.2. A marcação • indica previsão feita no início do doutorado. A marcação [] se refere ao relato e previsão, agora no final do 1º semestre de 2015. As principais diferenças do previsto foram: as disciplinas foram terminadas no primeiro ano; a revisão da literatura, os acréscimos aos modelos atuais com o foco no participante da rede, e a implementação computacional, estas três atividades estão sendo realizadas constantemente e devem durar até pouco antes da entrega e defesa da tese.

Atividade	2013		2014		2015	
	1º	2º	1º	2º	1º	2º
1	[•]	[•]	•	•		
2	[•]	[•]	[•]	[]	[]	[]
3	[]	[•]	[•]	[•]	[•]	[]
4	[]	[•]	[•]	[•]	[•]	[•]
5					[•]	[•]
6	[•]	[•]	[•]	[•]	[•]	[•]
7	[•]	[•]	[•]	[•]	[•]	[•]

Considerações sobre estes itens:

1. Foram cursadas as disciplinas de Processamento de linguagem natural, Mineração de dados, Visualização de dados e Web semântica. Dediquei um ano inteiramente às disciplinas. Estranhamente, fechei todas com B. No mestrado, fazia mais de 30 créditos na graduação, 4 disciplinas na pós, pesquisa, e fechei todas com A.
2. A literatura de para o trabalho proposto é ampla e este aprofundamento tem sido constante,
3. Os acréscimos aos modelos atuais tem tido o foco no participante da rede.
4. Há implementação computacional de provas de conceito, bibliotecas, rotinas básicas e rotinas para replicar resultados do grupo de pesquisa.
5. A escrita da tese pode tomar vários rumos: pode consistir de um conjunto de artigos ou de uma monografia final. Acho mais provável que seja um conjunto de artigos focados nas direções dadas na Seção 4.4.4.
6. Conseguimos finalizar um artigo (?). Há ao menos mais um em condições de publicação (?) e outro mais indiretamente relacionado sobre música (?). Além destes, há mais estes artigos no arXiv (?, ?, ?, ?), todos referentes ao trabalho do doutorado. Foram publicados em revista internacional os artigos AA e Images/Vilson, ambos sem a colaboração do orientador.

7. Parte substancial do trabalho consistiu em experimentos de coleta e difusão de informação, o que disparou reuniões, visitas e colaborações. Este processo foi iniciado logo antes do doutorado e pode ser apreciado, por exemplo, pelas visitas a São Carlos de parcerios de pesquisa, pela integração do pesquisador ao grupo de pesquisa Nexus, vinculado ao CNPq, e ao aporte do PNUD/ONU dado ao pesquisador, sobre o qual a Presidência da República se posicionou como beneficiária.

6

Conclusões e previsão

Há, a princípio, uma confirmação de que os conhecimentos de redes complexas possuem aplicações diversas e potencialmente benéficas para o participante. Por exemplo, os experimentos apresentaram modificações da estrutura social para comportar a pesquisa, e podem ser usados para comportar outros empreendimentos. Os estudos de estabilidade e diferenciação em redes de interação humana apontam na direção de tipologias de redes e de participantes, com base nos setores de Erdős e com componentes principais típicas e estáveis. Um legado de dados ligados e abertos é conveniente para apresentar estes resultados às comunidades acadêmicas e interessadas nas aplicações, para as quais foram adiantadas ontologias, vocabulários, rotinas de conversão de dados relacionais em RDF e os dados em si.

Uma direção simples é focar no *Complex Networks Gradus ad Parnassum*, que está planejado como uma apresentação das redes complexas através da entrega, para o leitor, de formas de observar e interagir com suas redes. Uma via menos pedagógica, mas mais fundamental, é explorar as estabilidades encontradas: até que número de agentes a distribuição dos participantes nos setores e a formação das componentes principais se mantém? Como caracterizar a intermitência dos agentes enquanto a distribuição de grau é estável?

Há, em alguns casos extremos, considerações na base da área, com implicações sobre a própria constituição das redes complexas. Ao mesmo tempo, os métodos utilizados são potencialmente novos. Há diversos trabalhos na bibliografia. Caso haja disponibilidade para visitar itens da literatura produzida, recomendamos, nesta mesma ordem, (?, ?, ?, ?, ?).